

# 自然分極法の理論的研究の一例

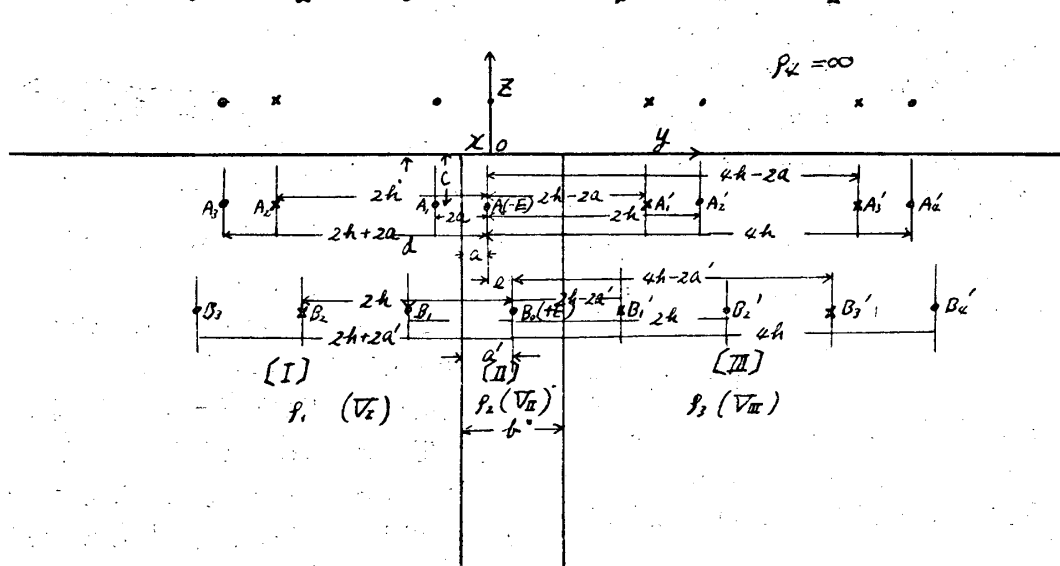
宮 崎 健 三

## 1. 緒 言

物理探鉱の何れの方法に於ても鉱体の賦存状態推定上多数の基本的地質構造に対する理論的研究の必要性が痛感されている。筆者は一例と

して〔I〕, 〔II〕, 〔III〕なる媒体が互に平面に依り境されて境界面が地表面に対して垂直なる場合に於て媒質〔II〕の中に棒状鉱体が在る時の自然分極電位の形狀を調べた。

第一 図



## 2. 理論式の誘導及び計算例

棒状鉱体を上端に負下端に正の電極に置換へ又電像法を用いて解いて見た。

棒状鉱体の上端電極  $A_0$  の強さを  $-E$  下端電極の強さを  $B_0 = E$  とし、  $A_0$  点の直上の地表面上の点を原点 0 とし、第 1 回に示す如く  $x, y, z$  なる直角座標を考える。又  $A_0$  と 0 の垂直距

離を  $c$ ,  $B_0$  と 0 の垂直距離を  $d$ ,  $A_0$  と  $B_0$  の水平距離を  $e$ , 媒質〔I〕と〔II〕の境界面への  $A_0$  及び  $B_0$  の水平距離を各々  $a, a'$  とし、媒質〔II〕の幅を  $b$  とし。媒質〔I〕, 〔II〕, 〔III〕の比抵抗をそれぞれ  $\rho_1, \rho_2, \rho_3$  とすれば媒質〔I〕, 〔II〕, 〔III〕内(境界面を含む)の電極  $A_0$  による電位  $A V_I, A V_{II}, A V_{III}$  は次の如くなる。

$$AV_I = -\frac{\rho_2 I}{2\pi} (1 + k_{12}) \left\{ \frac{1}{\sqrt{x^2 + y^2 + (z+c)^2}} + \sum_{n=1}^{\infty} k_{12}^n k_{32}^n \left( \frac{1}{\sqrt{x^2 + (y-2nb)^2 + (z+c)^2}} \right. \right.$$

$$\left. \left. + \frac{k_{12}^{-1}}{\sqrt{x^2 + (y+2a-2nb)^2 + (z+c)^2}} \right) \right\}$$

$$AV_{II} = -\frac{\rho_2 I}{2\pi} \left\{ \frac{1}{\sqrt{x^2 + y^2 + (z+c)^2}} + \frac{k_{12}}{\sqrt{x^2 + (y+2a)^2 + (z+c)^2}} \right. \\ \left. + \sum_{n=1}^{\infty} k_{12}^n k_{32}^n \left( \frac{1}{\sqrt{x^2 + (y+2nb)^2 + (z+c)^2}} + \frac{1}{\sqrt{x^2 + (y-2nb)^2 + (z+c)^2}} \right. \right. \\ \left. \left. + \frac{k_{12}}{\sqrt{x^2 + (y+2a+2nb)^2 + (z+c)^2}} + \frac{k_{12}^{-1}}{\sqrt{x^2 + (y+2a-2nb)^2 + (z+c)^2}} \right) \right\}$$

$$\begin{aligned} A V_{III} = & -\frac{\rho_2 I}{2\pi} (1+k_{32}) \left\{ \frac{1}{\sqrt{x^2+y^2+(z+c)^2}} + \frac{k_{12}}{\sqrt{x^2+(y+2a)^2+(z+c)^2}} \right. \\ & \left. + \sum_{n=1}^{\infty} k_{12}^n k_{32}^n \left( \frac{1}{\sqrt{x^2+(y+2nb)^2+(z+c)^2}} + \frac{k_{12}}{\sqrt{x^2+(y+2a+2nb)^2+(z+c)^2}} \right) \right\} \end{aligned}$$

但し  $k_{12} = \frac{\rho_1 - \rho_2}{\rho_1 + \sigma_2}$   $k_{32} = \frac{\rho_3 - \rho_2}{\rho_3 + \rho_2}$  又空気中の比抵抗  $\rho_4 = \infty$  とす。

媒体 [I], [II] 及び [II], [III] の境界面に於ては

$$\left. \begin{aligned} A V_I(y=-a) &= A V_{II}(y=-a) \\ \frac{1}{\rho_1} \frac{\partial A V_I}{\partial y}(y=-a) &= \frac{1}{\rho_2} \frac{\partial A V_{II}}{\partial y}(y=-a) \end{aligned} \right\} \text{及び} \quad \left. \begin{aligned} A V_I(y=b-a) &= A V_{III}(y=b-a) \\ \frac{1}{\rho_2} \frac{\partial A V_{II}}{\partial y}(y=b-a) &= \frac{1}{\sigma_3} \frac{\partial A V_{III}}{\partial y}(y=b-a) \end{aligned} \right\}$$

を満足しなければならない。即ち

$$\begin{aligned} A V_I(y=-a) &= -\frac{\rho_2 I}{2\pi} (1+k_{12}) \left\{ \frac{1}{\sqrt{x^2+y^2+(z+c)^2}} + \sum_{n=1}^{\infty} k_{12}^n k_{32}^n \left( \frac{1}{\sqrt{x^2+(2nb+a)^2+(z+c)^2}} \right. \right. \\ & \left. \left. + \frac{k_{12}^{-1}}{\sqrt{x^2+(2nb-a)^2+(z+c)^2}} \right) \right\} \\ A V_{II}(y=-a) &= -\frac{\rho_2 I}{2\pi} \left\{ \frac{1}{\sqrt{x^2+a^2+(z+c)^2}} + \frac{k_{12}}{\sqrt{x^2+a^2+(z+c)^2}} \right. \\ & \left. + \sum_{n=1}^{\infty} k_{12}^n k_{32}^n \left( \frac{1}{\sqrt{x^2+(2nb-a)^2+(z+c)^2}} + \frac{1}{\sqrt{x^2+(2nb+a)^2+(z+c)^2}} \right. \right. \\ & \left. \left. + \frac{k_{12}}{\sqrt{x^2+(2nb+a)^2+(z+c)^2}} + \frac{k_{12}}{\sqrt{x^2+(2nb-a)^2+(z+c)^2}} \right) \right\} \\ &= -\frac{\rho_2 I}{2\pi} (1+k_{12}) \left\{ \frac{1}{\sqrt{x^2+y^2+(z+c)^2}} + \sum_{n=1}^{\infty} k_{12}^n k_{32}^n \left( \frac{1}{\sqrt{x^2+(2nb+a)^2+(z+c)^2}} \right. \right. \\ & \left. \left. + \frac{k_{12}^{-1}}{\sqrt{x^2+(2nb-a)^2+(z+c)^2}} \right) \right\} = A V_{II}(y=-a) \end{aligned}$$

又 [II], [III] の境界面に於ては、

$$\begin{aligned} A V_{II}(y=b-a) &= -\frac{\rho_2 I}{2\pi} \left\{ \frac{1}{\sqrt{x^2+(b-a)^2+(z+c)^2}} + \frac{k_{32}}{\sqrt{x^2+(b-a)^2+(z+c)^2}} \right. \\ & \left. + \frac{k_{12}}{\sqrt{x^2+(b+a)^2+(z+c)^2}} + \frac{k_{12} k_{32}}{\sqrt{x^2+(b-a)^2+(z+c)^2}} \right. \\ & \left. + \sum_{n=1}^{\infty} k_{12}^n k_{32}^n \left( \frac{1}{\sqrt{x^2+\{(2n+1)b-a\}^2+(z+c)^2}} + \frac{k_{12}}{\sqrt{x^2+\{(2n+1)b+a\}^2+(z+c)^2}} \right) \right. \\ & \left. + \sum_{n=2}^{\infty} k_{12}^n k_{32}^n \left( \frac{1}{\sqrt{x^2+\{(2n-1)b+a\}^2+(z+c)^2}} + \frac{k_{12}^{-1}}{\sqrt{x^2+\{(2n-1)b-a\}^2+(z+c)^2}} \right) \right\} \end{aligned}$$

この最後の無限級数の項の  $n$  の代りに  $n+1$  と置けば

$$\begin{aligned} A V_{II}(x=b-a) &= -\frac{\rho_2 I}{2\pi} (1+k_{31}) \left\{ \frac{1}{\sqrt{x^2+(b-a)^2+(z+c)^2}} + \frac{k_{12}}{\sqrt{x^2+(b+a)^2+(z+c)^2}} \right. \\ & \left. + \sum_{n=1}^{\infty} k_{12}^n k_{32}^n \left( \frac{1}{\sqrt{x^2+\{(2n+1)b-a\}^2+(z+c)^2}} + \frac{k_{12}}{\sqrt{x^2+\{(2n+1)b+a\}^2+(z+c)^2}} \right) \right\} \\ A V_{III}(x=b-a) &= -\frac{\rho_2 I}{2\pi} (1+k_{31}) \left\{ \frac{1}{\sqrt{x^2+(b-a)^2+(z+c)^2}} + \frac{k_{12}}{\sqrt{x^2+(b+a)^2+(z+c)^2}} \right. \\ & \left. + \sum_{n=1}^{\infty} k_{12}^n k_{32}^n \left( \frac{1}{\sqrt{x^2+\{(2n+1)b-a\}^2+(z+c)^2}} + \frac{k_{12}}{\sqrt{x^2+\{(2n+1)b+a\}^2+(z+c)^2}} \right) \right\} \\ &= V_{II}(x=b-a) \end{aligned}$$

$$\begin{aligned}
 \text{又 } \frac{\partial_A V_I}{\partial y} &= \frac{\rho_2 I}{2\pi} (1+k_{12}) \left[ \frac{y}{(x^2+y^2+(z+c)^2)3/2} + \sum_{n=1}^{\infty} k_{12}^n k_{32}^n \frac{y-2nb}{(x^2+(y-2nb)^2+(z+c)^2)3/2} \right. \\
 &\quad \left. + \frac{k_{12}^{-1}(y+2a-2nb)}{(x^2+(y+2a-2nb)^2+(z+c)^2)3/2} \right] \\
 \frac{\partial_A V_{II}}{\partial y} &= \frac{\rho_2 I}{2\pi} \left[ \frac{y}{(x^2+y^2+(z+c)^2)3/2} + \frac{k_{12}(y+2a)}{(x^2+(y+2a)^2+(z+c)^2)3/2} \right. \\
 &\quad + \sum_{n=1}^{\infty} k_{12}^n k_{22}^n \left\{ \frac{y+2nb}{(x^2+(y+2nb)^2+(z+c)^2)3/2} + \frac{y-2nb}{(x^2+(y-2nb)^2+(z+c)^2)3/2} \right. \\
 &\quad \left. + \frac{k_{12}(y+2a+2nb)}{(x^2+(y+2a+2nb)^2+(z+c)^2)3/2} + \frac{k_{12}^{-1}(y+2a-2nb)}{(x^2+(y+2a-2nb)^2+(z+c)^2)3/2} \right\} \\
 \frac{\partial_A V_{III}}{\partial y} &= \frac{\rho_2 I}{2\pi} (1+k_{31}) \left[ \frac{y}{(x^2+y^2+(z+c)^2)3/2} + \frac{k_{12}(y+2a)}{(x^2+(y+2a)^2+(z+c)^2)3/2} \right. \\
 &\quad \left. + \sum_{n=1}^{\infty} k_{12}^n k_{32}^n \left\{ \frac{y+2nb}{(x^2+(y+2nb)^2+(z+c)^2)3/2} + \frac{k_{12}(y+2a+2nb)}{(x^2+(y+2a+2nb)^2+(z+c)^2)3/2} \right\} \right]
 \end{aligned}$$

故に

$$\begin{aligned}
 \frac{1}{\rho_1} \frac{\partial_A V_I}{\partial y} (y=-a) &= \frac{I}{4\pi} (1-k_{12}) \left[ \frac{-a}{(x^2+a^2+(z+c)^2)3/2} \right. \\
 &\quad \left. + \sum_{n=1}^{\infty} k_{12}^n k_{22}^n \left\{ \frac{-(a+2nb)}{(x^2+(a+2nb)^2+(z+c)^2)3/2} + \frac{k_{12}^n(a-2nb)}{(x^2+(a-2nb)^2+(z+c)^2)3/2} \right\} \right. \\
 &\quad \left. = \frac{1}{\rho_2} \frac{\partial_A V_{II}}{\partial y} (y=-a) \right]
 \end{aligned}$$

同様にして

$$\frac{1}{\rho_2} \frac{\partial_A V_{II}}{\partial y} (y=b-a) = \frac{1}{\rho_3} \frac{\partial_A V_{III}}{\partial y} (y=b-a)$$

即ち境界条件を満足していることが分る。下側の電源Bに就いても同様なる電位式を得。

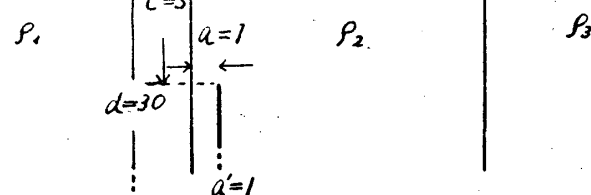
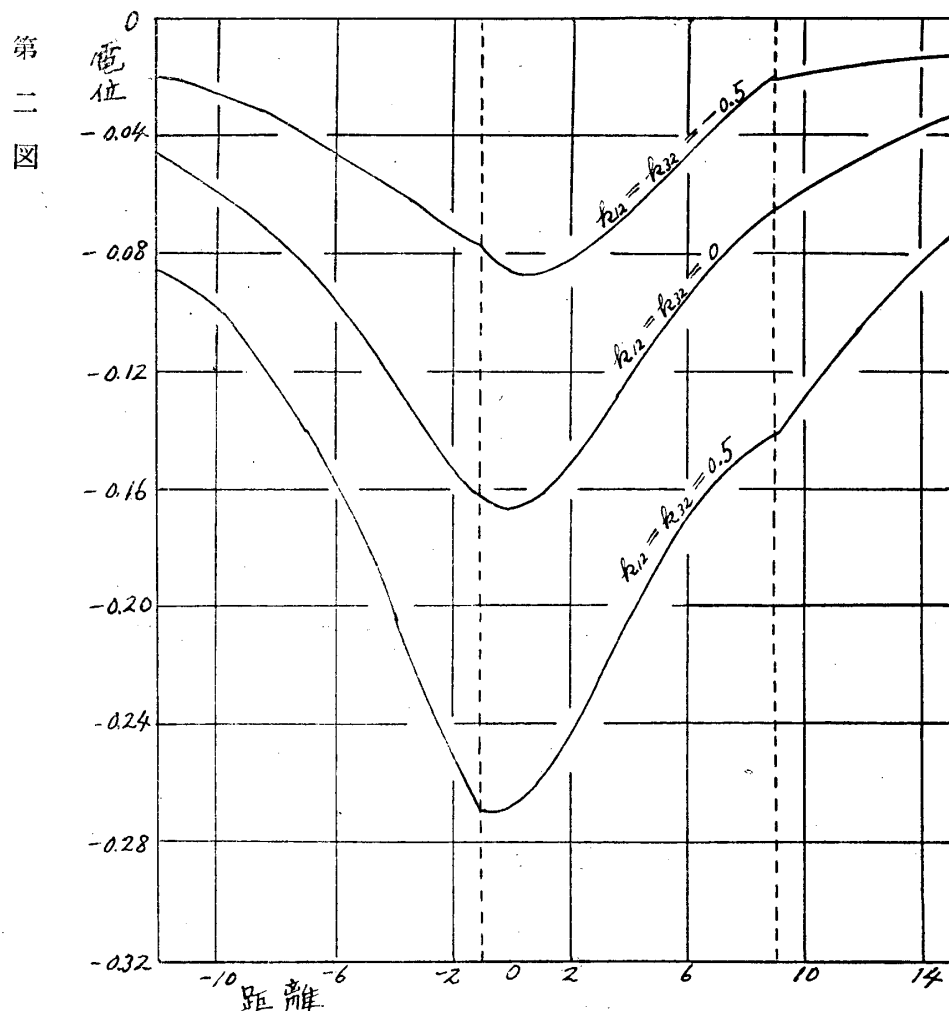
即ち

$$\begin{aligned}
 {}_B V_I &= \frac{\rho_2 I}{2\pi} (1+k_{12}) \left\{ \frac{1}{\sqrt{x^2+(y-e)^2+d^2}} + \sum_{n=1}^{\infty} k_{12}^n k_{32}^n \left( \frac{1}{\sqrt{x^2+(y-e-2nb)^2+d^2}} \right. \right. \\
 &\quad \left. \left. + \frac{k_{12}^{-1}}{\sqrt{x^2+(y-e-2nb+2a)^2+d^2}} \right) \right\} \\
 {}_B V_{II} &= \frac{\rho_2 I}{2\pi} \left\{ \frac{k_{12}}{\sqrt{x^2+(y-e+2a')^2+d^2}} + \sum_{n=1}^{\infty} k_{12}^n k_{32}^n \left( \frac{1}{\sqrt{x^2+(y-e+2nb)^2+d^2}} \right. \right. \\
 &\quad \left. \left. + \frac{1}{\sqrt{x^2+(y-e-2nb)^2+d^2}} + \frac{k_{12}}{\sqrt{x^2+(y-e+2nb+2a')^2+d^2}} \right. \right. \\
 &\quad \left. \left. + \frac{k_{12}^{-1}}{\sqrt{x^2+(y-e-2nb+2a')^2+d^2}} \right) \right\} \\
 {}_B V_{III} &= \frac{\rho_2 I}{2\pi} (1+k_{32}) \left\{ \frac{1}{\sqrt{x^2+(y-e)^2+d^2}} + \frac{k_{12}}{\sqrt{x^2+(y-e+2a)^2+d^2}} \right. \\
 &\quad \left. + \sum_{n=1}^{\infty} k_{12}^n k_{32}^n \left( \frac{1}{\sqrt{x^2+(y-e+2nb)^2+d^2}} + \frac{k_{12}}{\sqrt{x^2+(y-e+2nb+2a)^2+d^2}} \right) \right\}
 \end{aligned}$$

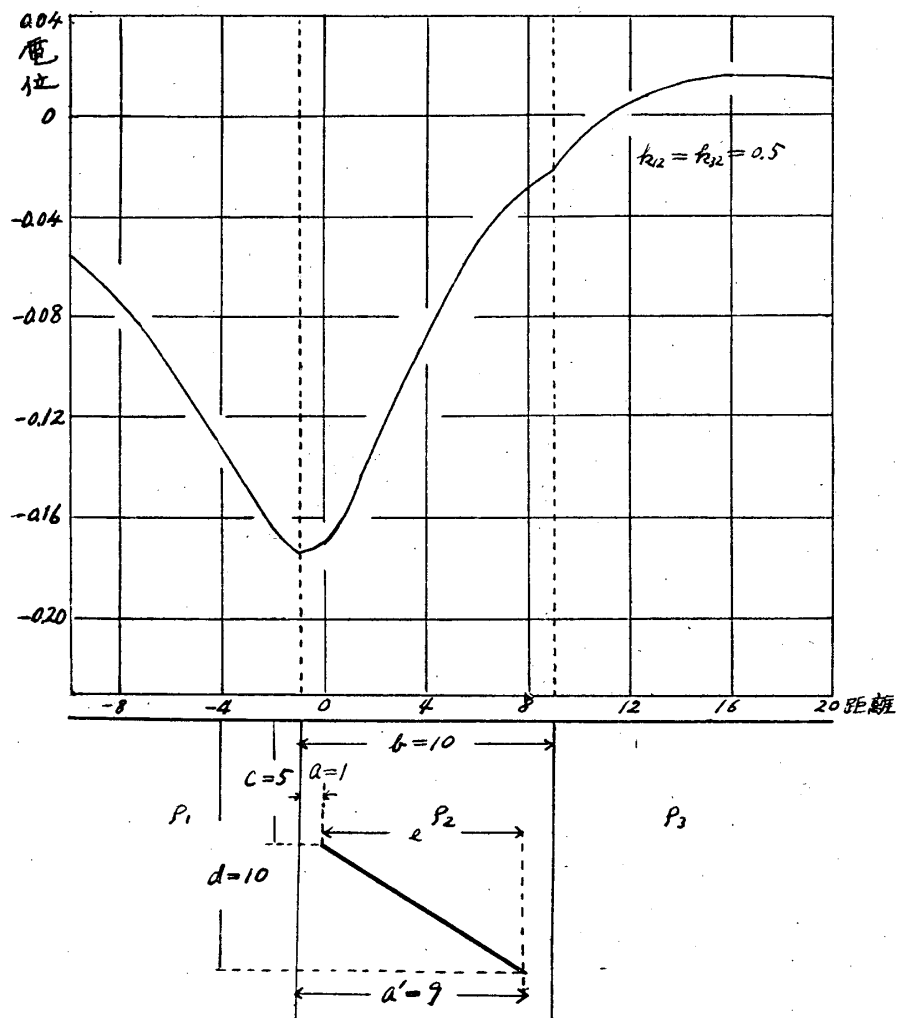
故に合成電位は次の如くなる。

$$\begin{aligned}
 V_{II} &= -\frac{\rho_2 I}{2\pi} \left\{ \sum_{n=0}^{\infty} k_{12}^n k_{32}^n \left( \frac{1}{\sqrt{x^2+(y+2nb)^2+c^2}} + \frac{k_{12}}{\sqrt{x^2+(y+2nb+2a')^2+c^2}} \right. \right. \\
 &\quad \left. \left. + \sum_{n=1}^{\infty} k_{12}^n k_{32}^n \left( \frac{1}{\sqrt{x^2+(y-2nb)^2+c^2}} + \frac{k_{12}^{-1}}{\sqrt{x^2+(y-2nb+2a')^2+c^2}} \right) \right) \right\}
 \end{aligned}$$

$$\begin{aligned}
 & - \sum_{n=0}^{\infty} k_{12}^n k_{32}^n \left( \frac{1}{\sqrt{x^2 + (y-e+2nb)^2 + d^2}} + \frac{k_{12}}{\sqrt{x^2 + (y-e+2nb+2a')^2 + d^2}} \right) \\
 & - \sum_{n=1}^{\infty} k_{12}^n k_{32}^n \left( \frac{1}{\sqrt{x^2 + (y-e-2nb)^2 + d^2}} + \frac{k_{12}^{-1}}{\sqrt{x^2 + (y-e-2nb+2a')^2 + d^2}} \right) \\
 V_1 = & - \frac{\rho_2 I}{2\pi} (1+k_{12}) \left\{ \sum_{n=0}^{\infty} k_{12}^n k_{32}^n \left( \frac{1}{\sqrt{x^2 + (y-2nb)^2 + c^2}} \right. \right. \\
 & + \sum_{n=1}^{\infty} k_{12}^n k_{32}^n \frac{k_{12}^{-1}}{\sqrt{x^2 + (y-2nb+2a)^2 + c^2}} - \sum_{n=0}^{\infty} k_{12}^n k_{32}^n \frac{1}{\sqrt{x^2 + (y-e-2nb)^2 + d^2}} \\
 & \left. \left. - \sum_{n=1}^{\infty} k_{12}^n k_{32}^n \frac{k_{12}^{-1}}{\sqrt{x^2 + (y-e-2nb+2a')^2 + d^2}} \right) \right\} \\
 V_{III} = & - \frac{\rho_2 I}{2\pi} (1+k_{32}) \left\{ \sum_{n=0}^{\infty} k_{12}^n k_{32}^n \left( \frac{1}{\sqrt{x^2 + (y+2nb)^2 + c^2}} \right. \right. \\
 & + \frac{k_{12}}{\sqrt{x^2 + (y+2nb+2a)^2 + c^2}} - \frac{1}{\sqrt{x^2 + (y-e+2nb)^2 + d^2}} - \frac{k_{12}}{\sqrt{x^2 + (y-e-2nb+2a')^2 + d^2}} \left. \left. \right) \right\}
 \end{aligned}$$



第三図



これ等の無限級数は収斂級数であるが、収斂速度は様々である。1, 2の数値計算例を示すと第2図、第3図の如くなる。これ等は無限級数の10項までを計算したものである。

### 3. 結 論

図より明かなる如く各境界面の電位-距離曲線は不連続曲線となる。即ち境界面上の点に於ては曲線は特異点を示す。又 $\rho_2$ の値に依つて示微は増減するので示微の最大値に依る鉱体の大小の判定は出来ない。

## ペーパー・クロマトグラフによる 第5～6族金属の分析について

原 澤 四 郎

### 1. 緒 言

著者は本学報に、引き続きペーパー・クロマトグラフによる第1～4族金属の系統的分析法について述べた。その後全陽イオン系統的分析表の試案を作成し、これを完成することに努めて来た。第5族及び第6族金属の分離に

関する文献は、その当時は殆んど無かつたが、(6)第6族については最近1～2の文献が見られる。

### 2. 実験の方法

これ等金属の処理には特に上質の濾紙が望ましいので、東洋濾紙No.5、定量用を用い、上昇